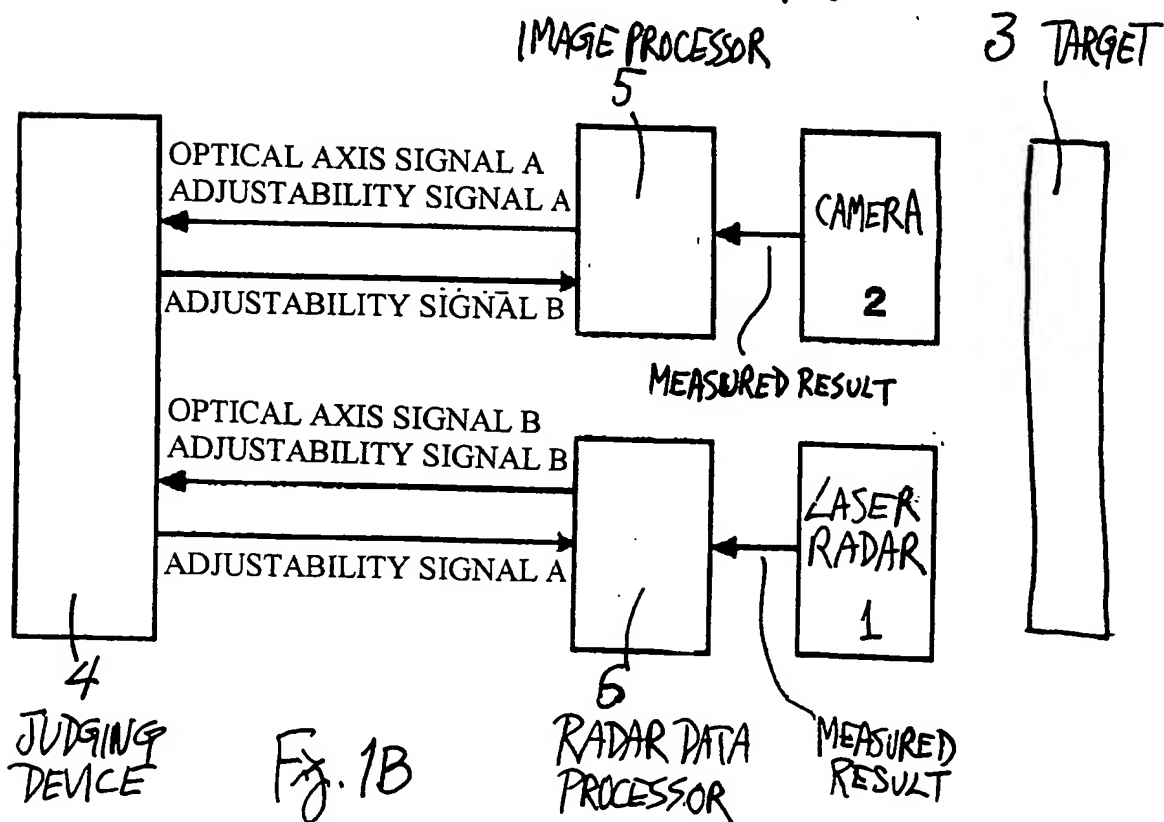


Fig. 1A



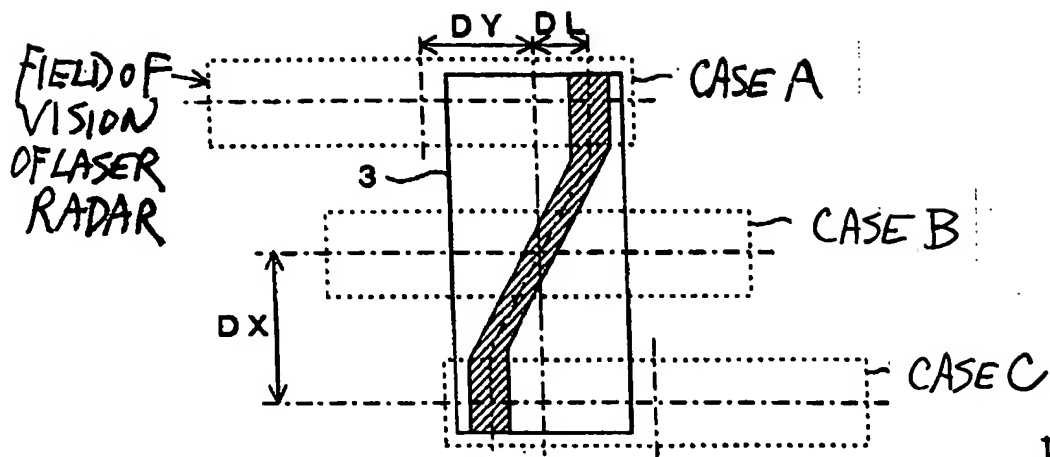


Fig. 3A

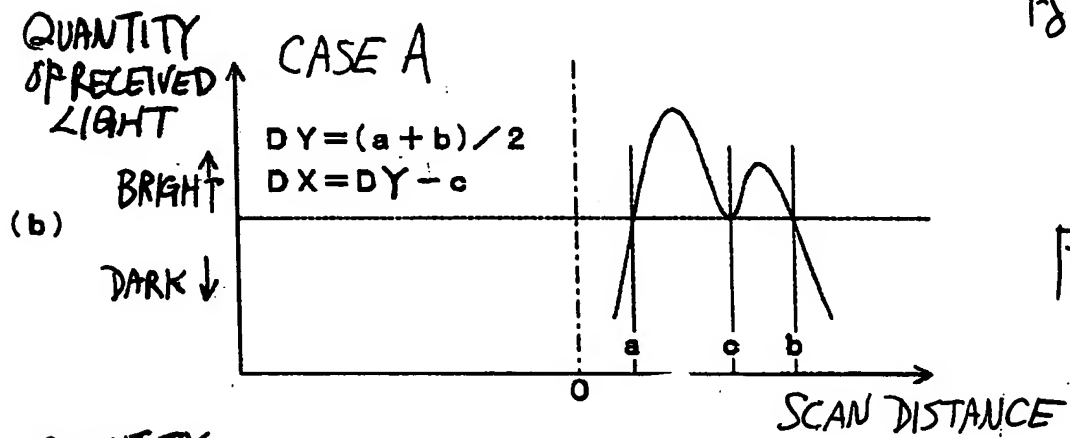


Fig. 3B

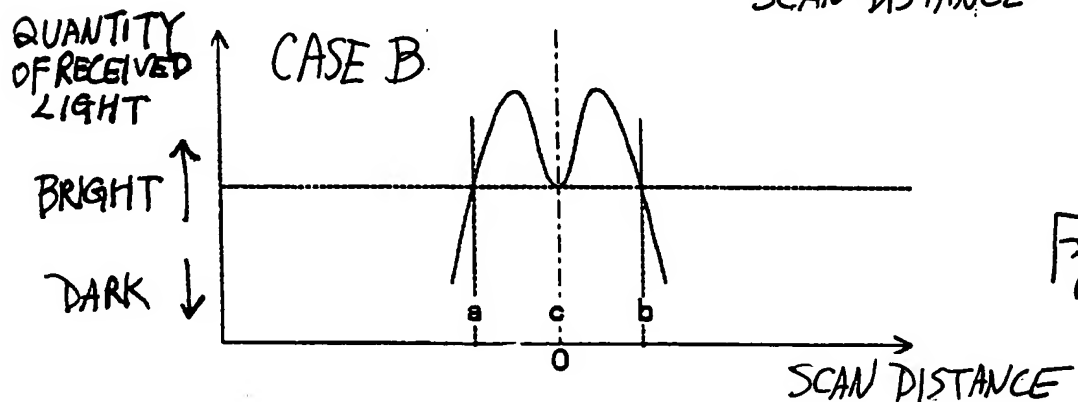


Fig. 3C

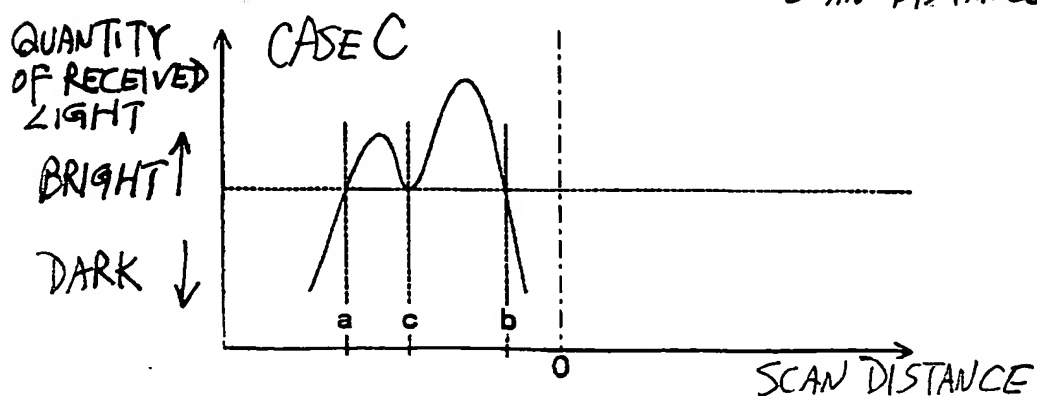


Fig. 3D

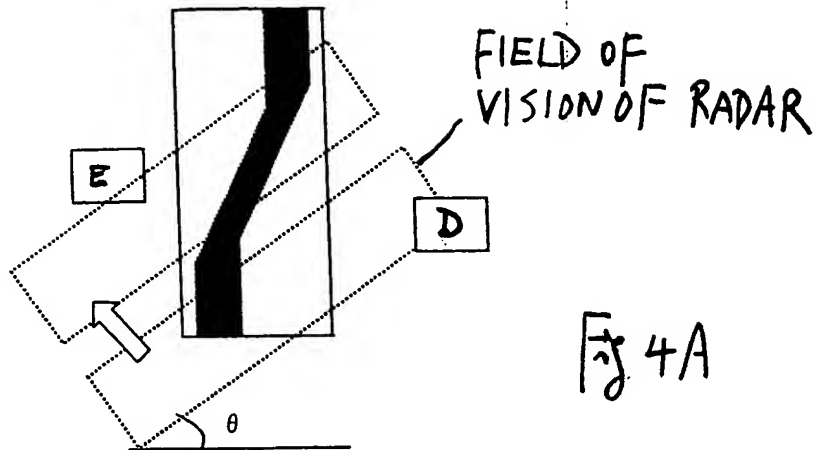


Fig 4A



Fig. 4B

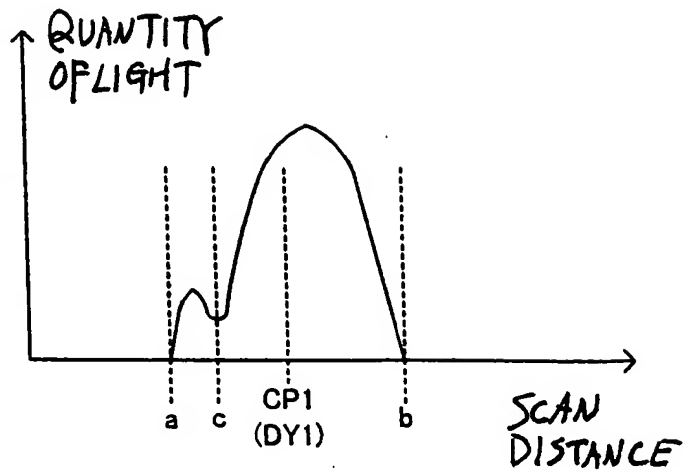


Fig. 4C



Fig. 4D

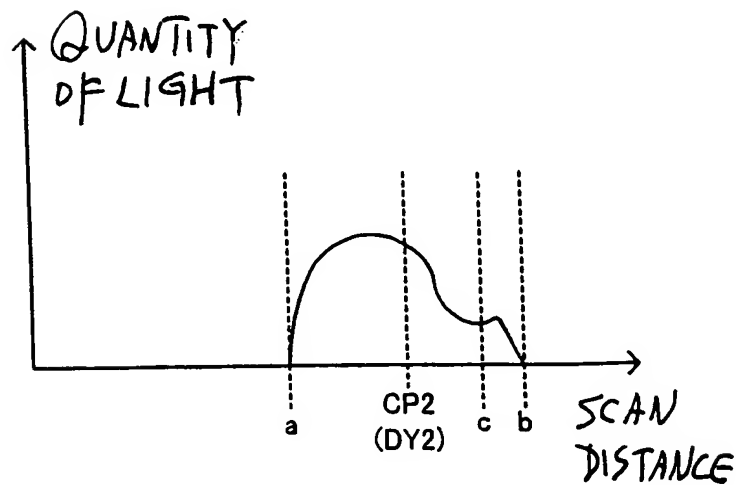


Fig. 4E

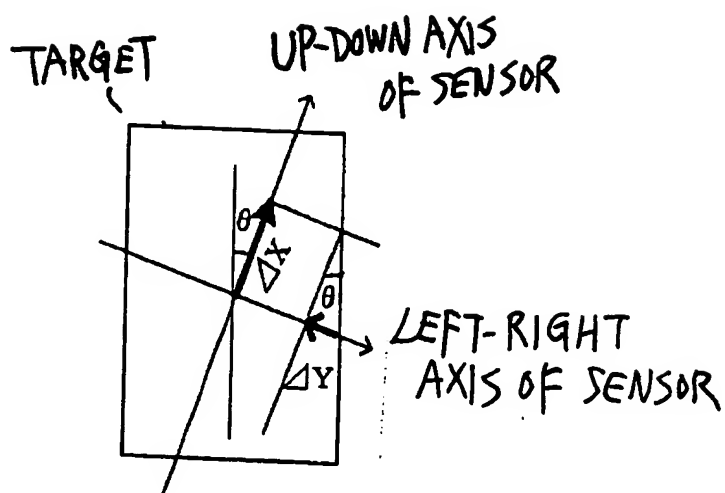


Fig. 4 F

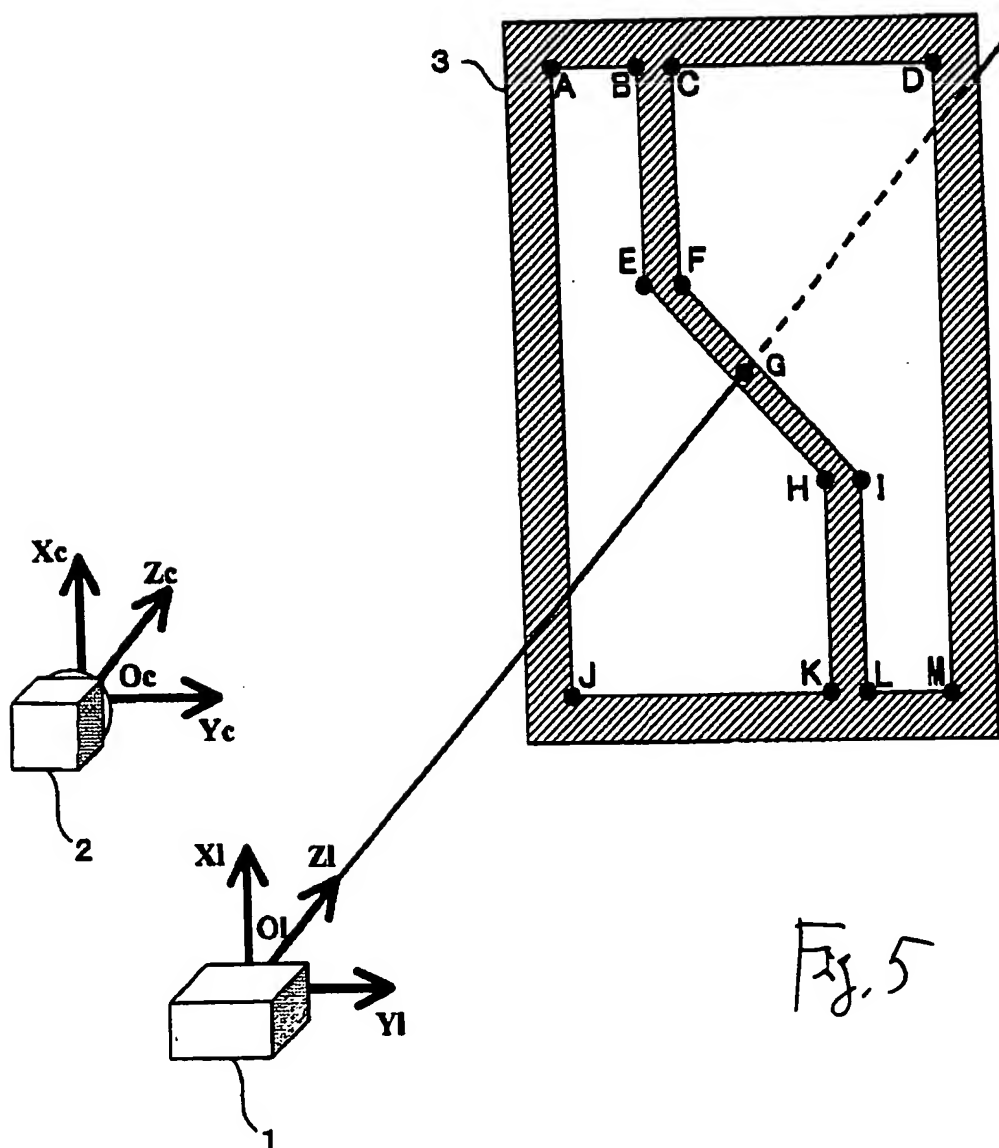


Fig. 5

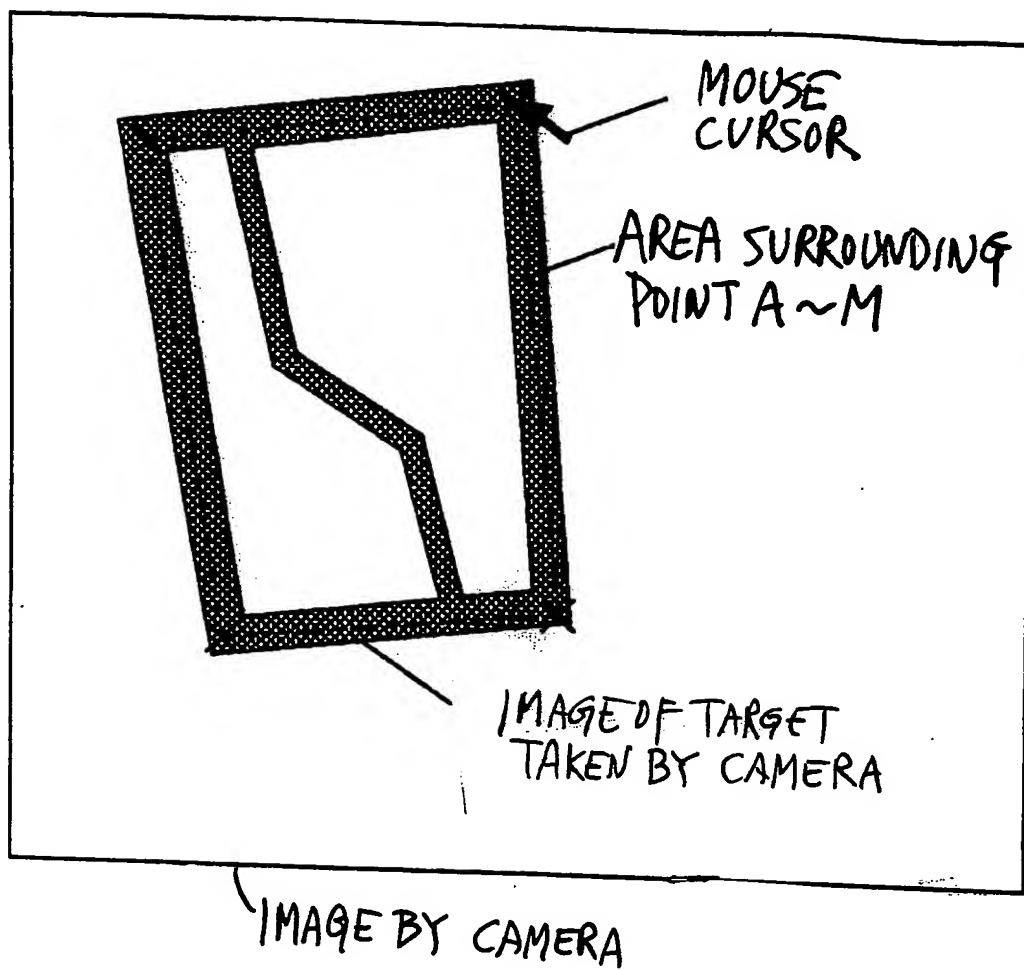


Fig. 6

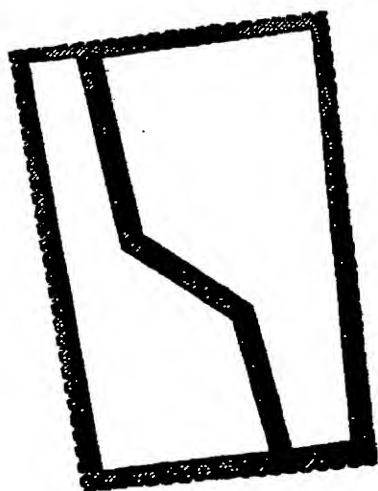


Fig. 7A

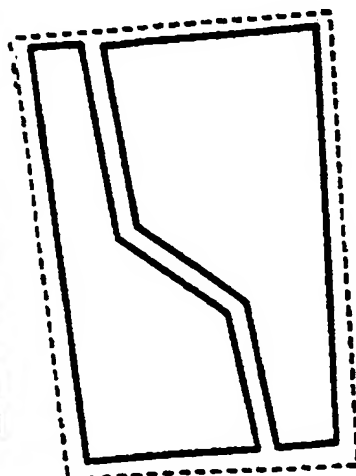


Fig. 7B

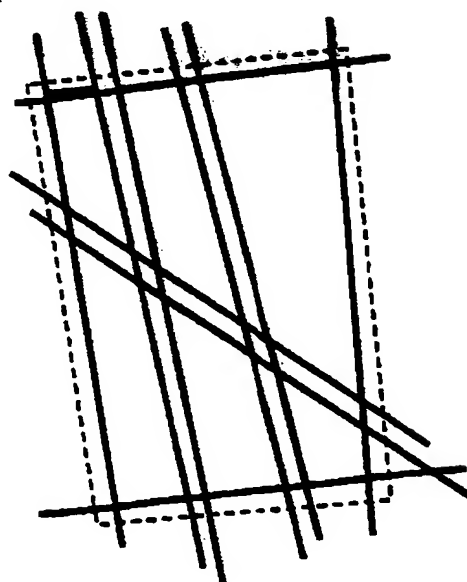


Fig. 7C

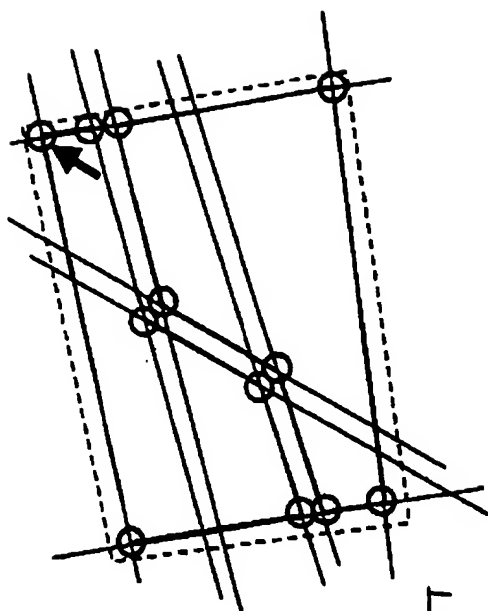


Fig. 8A

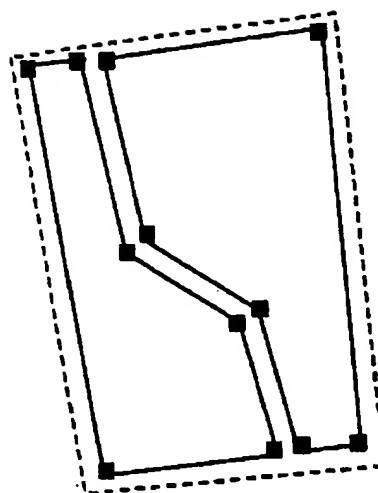


Fig. 8B

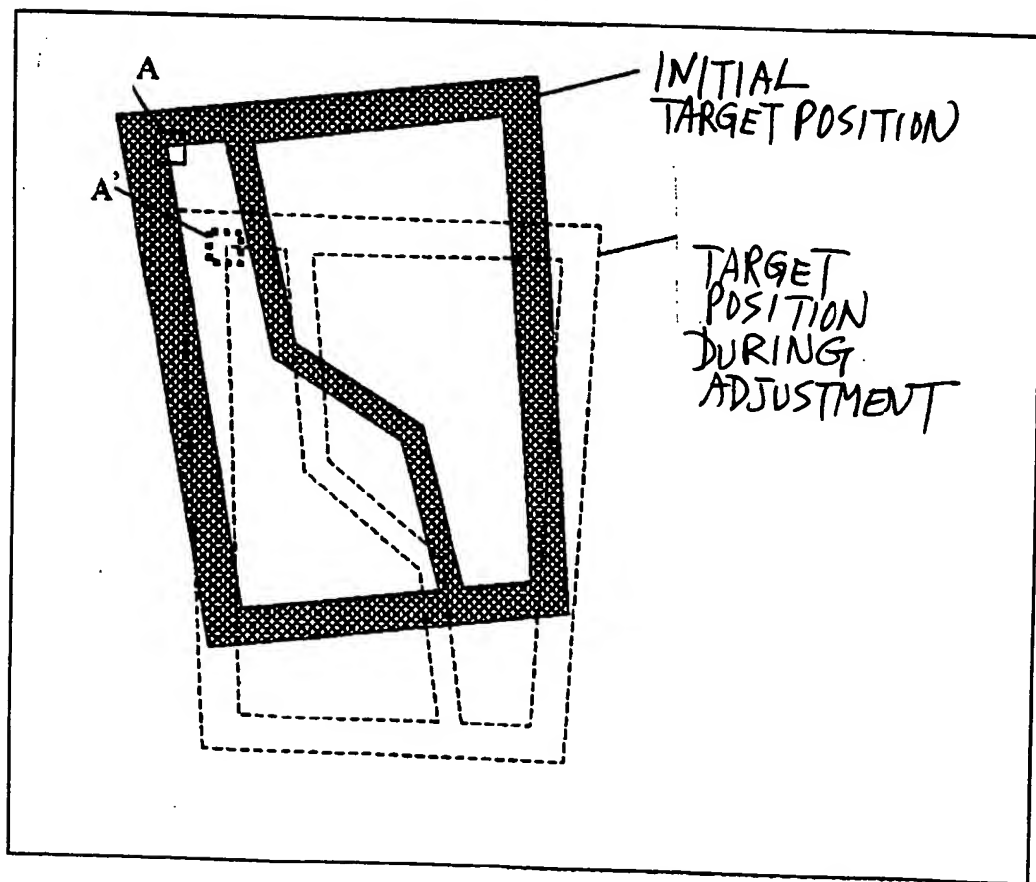


Fig. 9

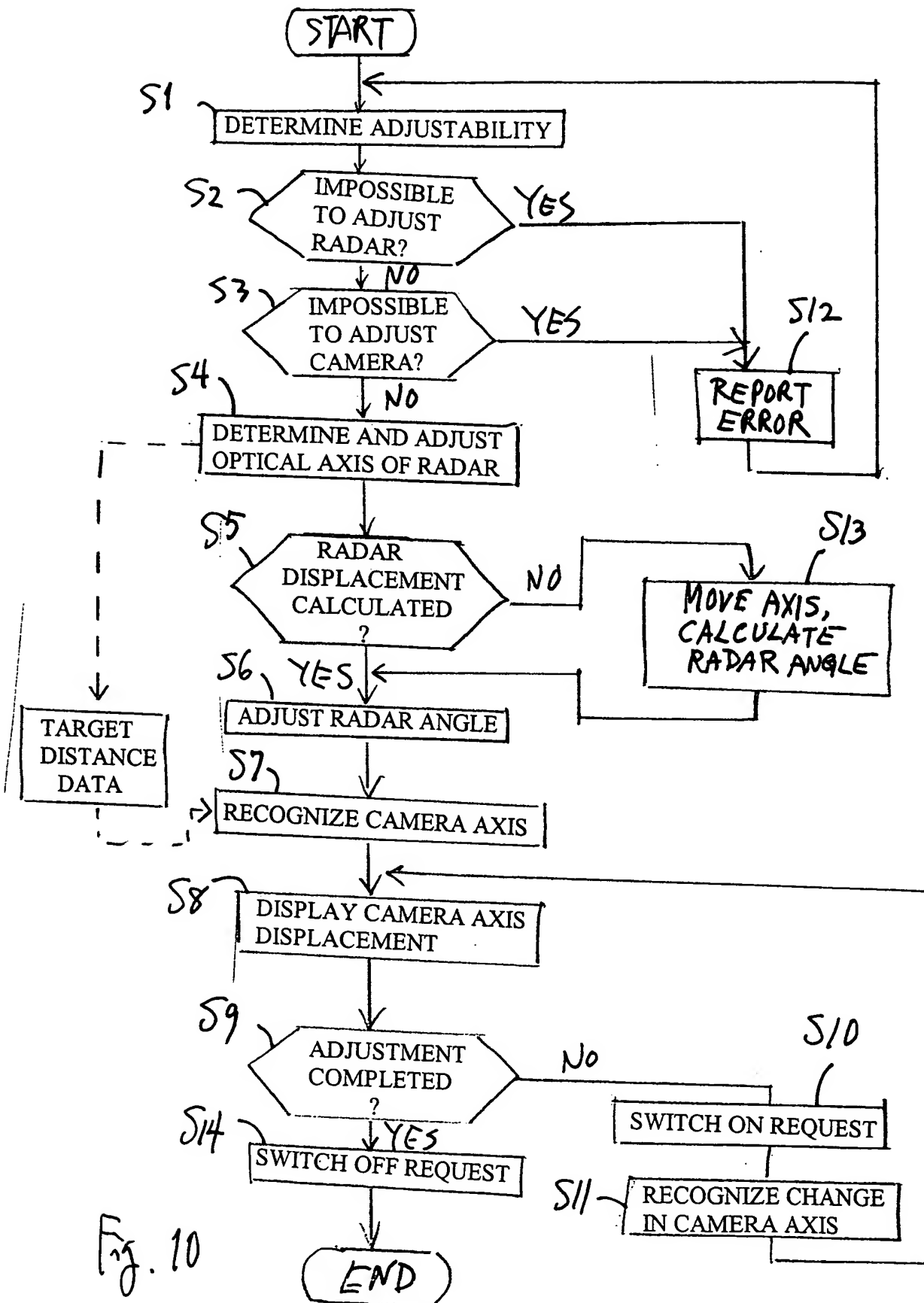


Fig. 10

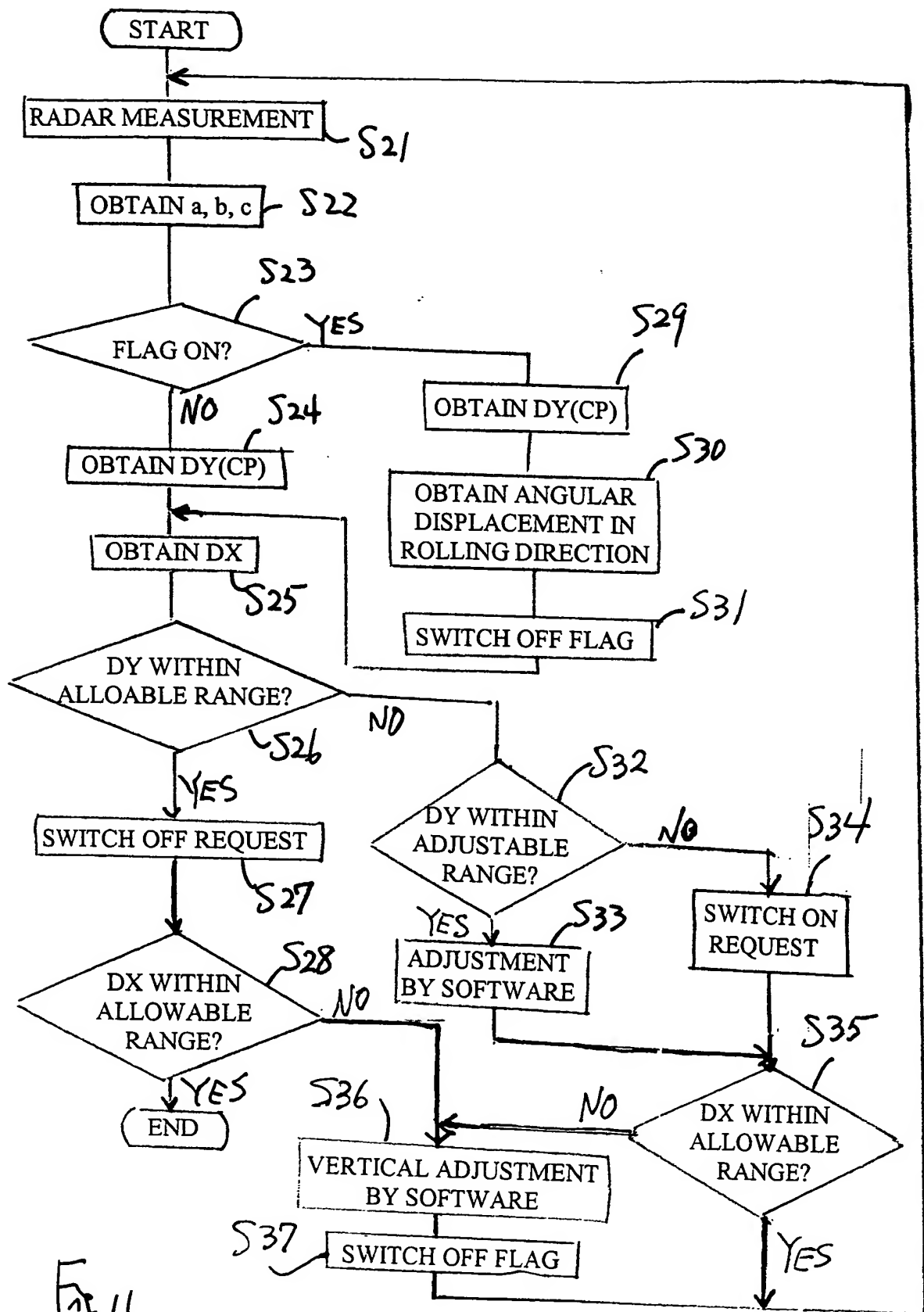


Fig 11

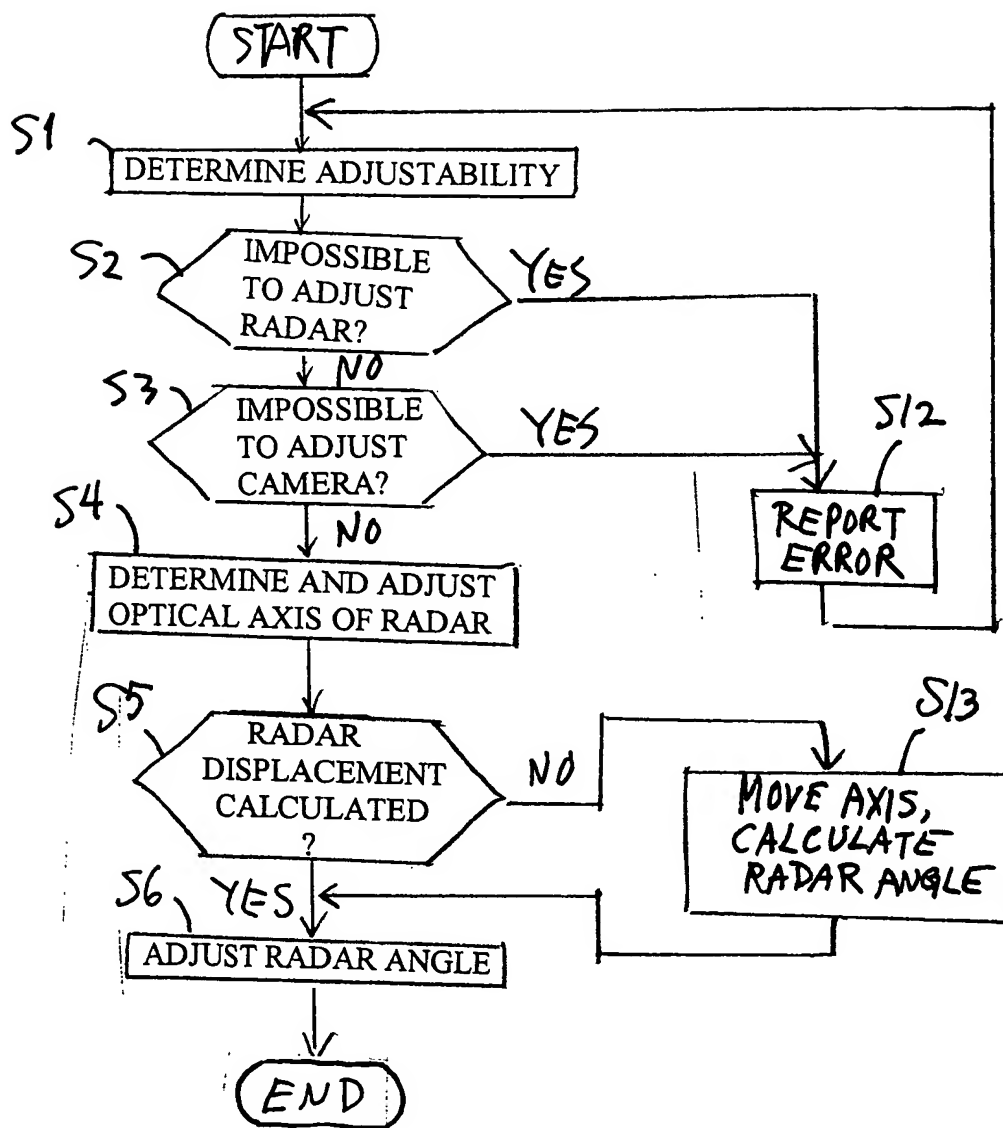


Fig. 12

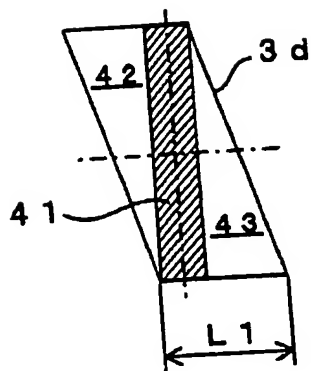


Fig. 13A

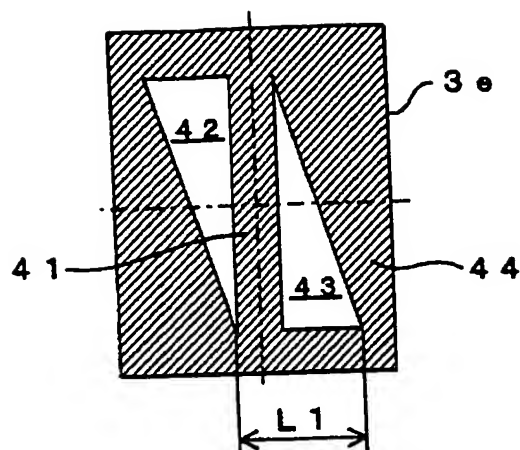


Fig. 13B

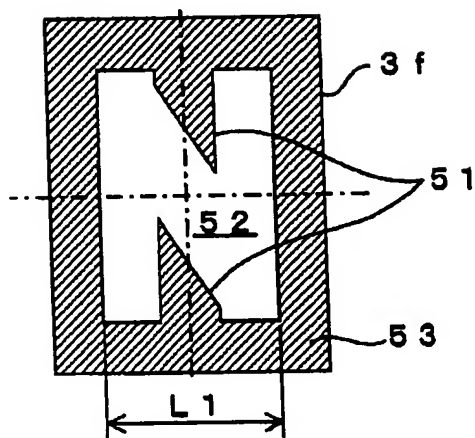


Fig. 13C

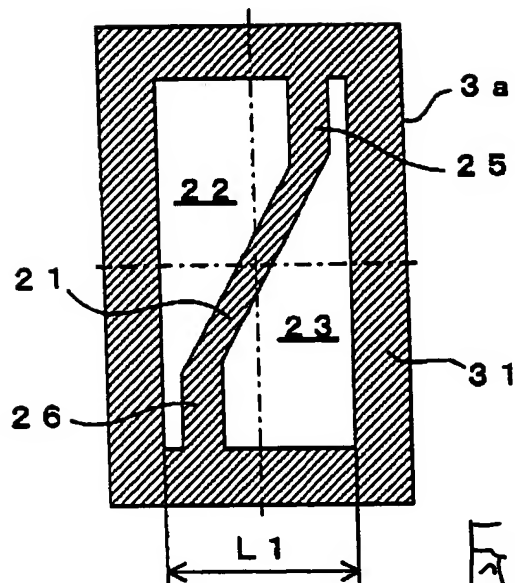


Fig. 14A

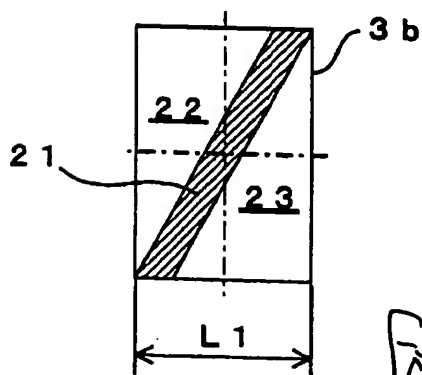


Fig. 14B

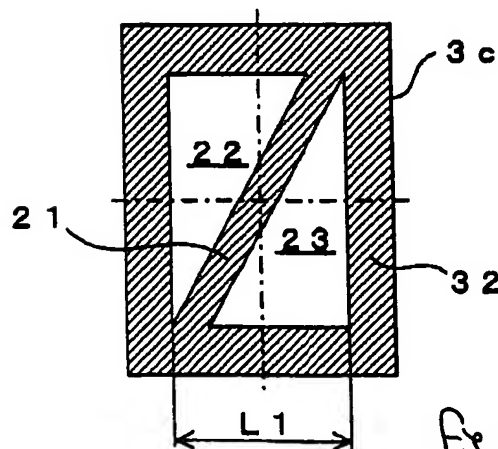


Fig. 14C

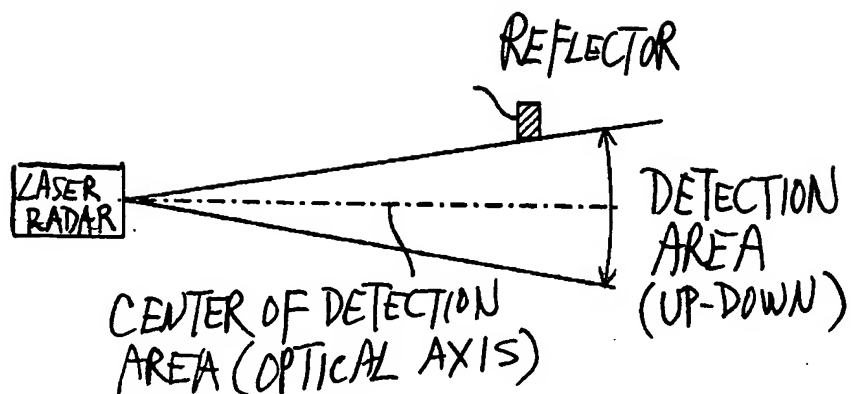


Fig. 15A
(PRIOR ART)

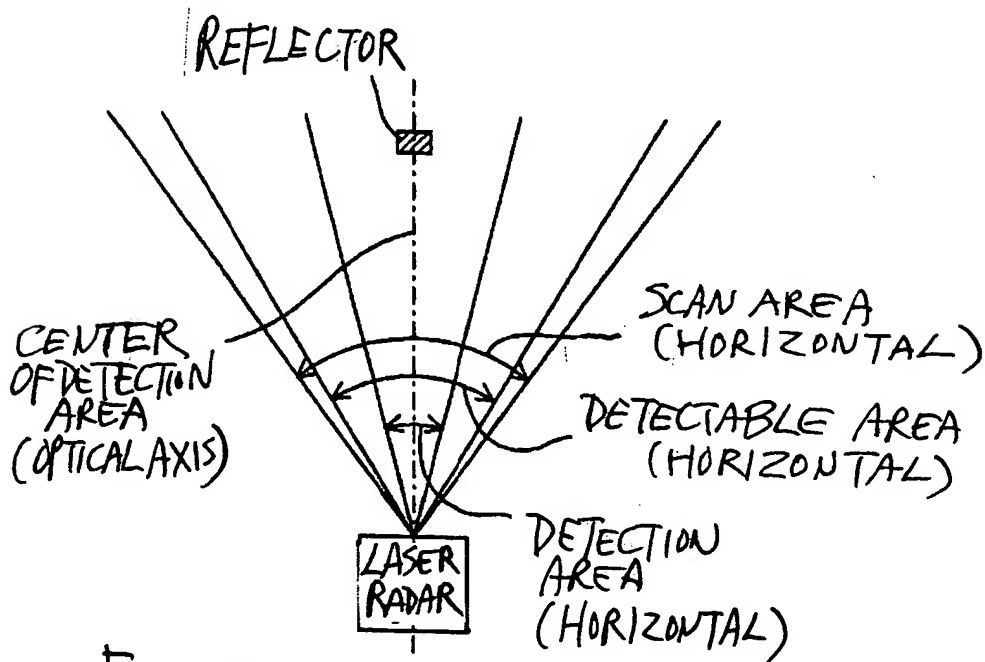


Fig. 15B
(PRIOR ART)